

1 已知一定量的某种理想气体, 在温度为 T_1 与 T_2 时的分子最概然速率分别为 v_{p1} 和 v_{p2} , 分子速率分布函数的最大值分别为 $f(v_{p1})$ 和 $f(v_{p2})$. 若 $T_1 > T_2$, 则

- (A) $v_{p1} > v_{p2}$, $f(v_{p1}) > f(v_{p2})$.
 (B) $v_{p1} > v_{p2}$, $f(v_{p1}) < f(v_{p2})$.
 (C) $v_{p1} < v_{p2}$, $f(v_{p1}) > f(v_{p2})$. B
 (D) $v_{p1} < v_{p2}$, $f(v_{p1}) < f(v_{p2})$. []

2 在一个体积不变的容器中, 储有一定量的理想气体, 温度为 T_0 时, 气体分子的平均速率为 \bar{v}_0 , 分子平均碰撞次数为 \bar{Z}_0 , 平均自由程为 $\bar{\lambda}_0$. 当气体温度升高为 $4T_0$ 时, 气体分子的平均速率 \bar{v} , 平均碰撞频率 \bar{Z} 和平均自由程 $\bar{\lambda}$ 分别为:

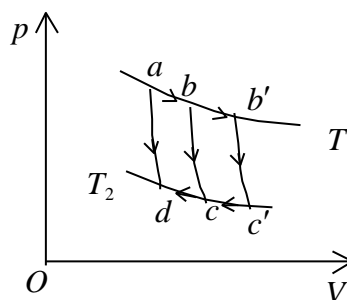
- (A) $\bar{v} = 4\bar{v}_0$, $\bar{Z} = 4\bar{Z}_0$, $\bar{\lambda} = 4\bar{\lambda}_0$.
 (B) $\bar{v} = 2\bar{v}_0$, $\bar{Z} = 2\bar{Z}_0$, $\bar{\lambda} = \bar{\lambda}_0$. B
 (C) $\bar{v} = 2\bar{v}_0$, $\bar{Z} = 2\bar{Z}_0$, $\bar{\lambda} = 4\bar{\lambda}_0$.
 (D) $\bar{v} = 4\bar{v}_0$, $\bar{Z} = 2\bar{Z}_0$, $\bar{\lambda} = \bar{\lambda}_0$. []

3 用公式 $\Delta E = \nu C_V \Delta T$ (式中 C_V 为定体摩尔热容量, 视为常量, ν 为气体摩尔数) 计算理想气体内能增量时, 此式

- (A) 只适用于准静态的等体过程.
 (B) 只适用于一切等体过程.
 (C) 只适用于一切准静态过程.
 (D) 适用于一切始末态为平衡态的过程. [] D

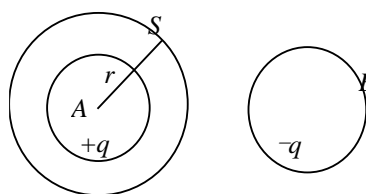
4 如果卡诺热机的循环曲线所包围的面积从图中的 $abcd a$ 增大为 $ab'c'da$, 那么循环 $abcd a$ 与 $ab'c'da$ 所作的净功和热机效率变化情况是:

- (A) 净功增大, 效率提高.
 (B) 净功增大, 效率降低.
 (C) 净功和效率都不变.
 (D) 净功增大, 效率不变. D []



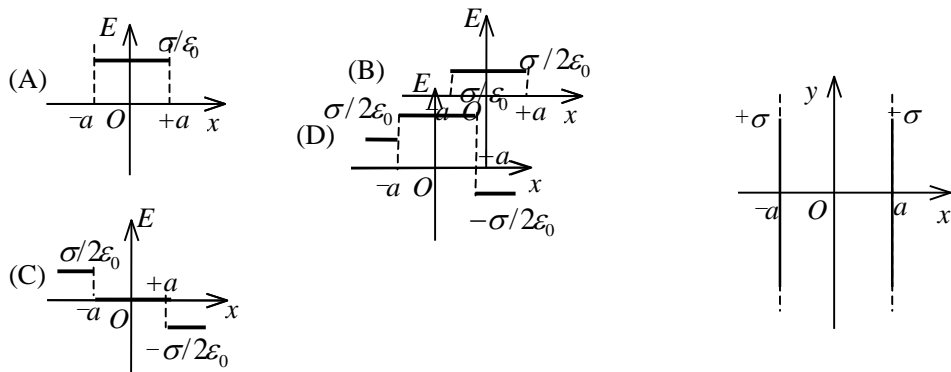
5 A 和 B 为两个均匀带电球体, A 带电荷 $+q$, B 带电荷 $-q$, 作一与 A 同心的球面 S 为高斯面, 如图所示. 则

- (A) 通过 S 面的电场强度通量为零, S 面上各点的场强为零.
 (B) 通过 S 面的电场强度通量为 q / ϵ_0 , S 面上场强的大小为 $E = \frac{q}{4\pi \epsilon_0 r^2}$.
 (C) 通过 S 面的电场强度通量为 $(-q) / \epsilon_0$, S 面上场强的大小为 $E = \frac{q}{4\pi \epsilon_0 r^2}$.
 (D) 通过 S 面的电场强度通量为 q / ϵ_0 , 但 S 面上各点的场强不能直接由高斯定理求出. D



6 电荷面密度分别为 $+\sigma$ 和 $-\sigma$ 的两块“无限大”均匀带电的平行平板, 如图放置, 则其周围空间各点电场强度 随位置坐标 x 变化的关系曲线为: (设场强方向向右为正、向左为负)

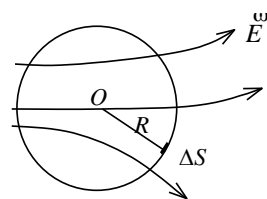
[]



A

7 在空间有一非均匀电场, 其电场线分布如图所示. 在电场中作一半径为 R 的闭合球面 S , 已知通过球面上某一面元 ΔS 的电场强度通量为 $\Delta\Phi_e$, 则通过该球面其余部分的电场强度通量为

- (A) $-\Delta\Phi_e$. (B) $\frac{4\pi R^2}{\Delta S} \Delta\Phi_e$.
(C) $\frac{4\pi R^2 - \Delta S}{\Delta S} \Delta\Phi_e$. (D) 0.



[] A

8 充了电的平行板电容器两极板(看作很大的平板)间的静电作用力 F 与两极板间的电压 U 的关系是:

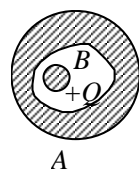
- (A) $F \propto U$. (B) $F \propto 1/U$. (C) $F \propto 1/U^2$. (D) $F \propto U^2$.

D

[]

9 在一个原来不带电的外表面为球形的空腔导体 A 内, 放一带有电荷为 $+Q$ 的带电导体 B , 如图所示. 则比较空腔导体 A 的电势 U_A 和导体 B 的电势 U_B 时, 可得以下结论:

- (A) $U_A = U_B$. (B) $U_A > U_B$. (C) $U_A < U_B$. (D) 因空腔形状不是球形, 两者无法比较.



A

C

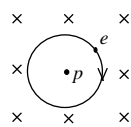
[]

10 设有一个带正电的导体球壳. 当球壳内充满电介质、球壳外是真空时, 球壳外一点的场强大小和电势用 E_1, U_1 表示; 而球壳内、外均为真空时, 壳外一点的场强大小和电势用 E_2, U_2 表示, 则两种情况下壳外同一点处的场强大小和电势大小的关系为

- (A) $E_1 = E_2, U_1 = U_2$. (B) $E_1 = E_2, U_1 > U_2$. (C) $E_1 > E_2, U_1 > U_2$. (D) $E_1 < E_2, U_1 < U_2$.

[]

11 按玻尔的氢原子理论, 电子在以质子为中心、半径为 r 的圆形轨道上运动. 如果把这样一个原子放在均匀的外磁场中, 使电子轨道平面与 \vec{B} 垂直, 如图所示, 则在 r 不变的情况下, 电子轨道运动的角速度将:

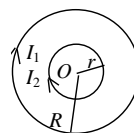


- (A) 增加. (B) 减小. (C) 不变. (D) 改变方向.

A

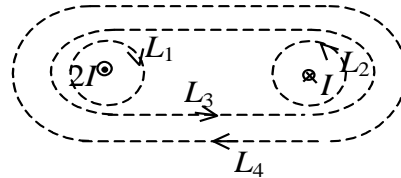
[]

12 两个同心圆线圈，大圆半径为 R ，通有电流 I_1 ；小圆半径为 r ，通有电流 I_2 ，方向如图。若 $r \ll R$ (大线圈在小线圈处产生的磁场近似为均匀磁场)，当它们处在同一平面内时小线圈所受磁力矩的大小为



- (A) $\frac{\mu_0 \pi I_1 I_2 r^2}{2R}$. (B) $\frac{\mu_0 I_1 I_2 r^2}{2R}$. D
(C) $\frac{\mu_0 \pi I_1 I_2 R^2}{2r}$. (D) 0. []

13 如图，流出纸面的电流为 $2I$ ，流进纸面的电流为 I ，则下述各式中哪一个是正确的？



- (A) $\oint_{L_1} \vec{H} \cdot d\vec{l} = 2I$. (B) $\oint_{L_2} \vec{H} \cdot d\vec{l} = I$
(C) $\oint_{L_3} \vec{H} \cdot d\vec{l} = -I$. (D) $\oint_{L_4} \vec{H} \cdot d\vec{l} = -I$. []

D

14 对位移电流，有下述四种说法，请指出哪一种说法正确。

- (A) 位移电流是指变化电场。
(B) 位移电流是由线性变化磁场产生的。
(C) 位移电流的热效应服从焦耳—楞次定律。
(D) 位移电流的磁效应不服从安培环路定理。

A

[]

15 两个通有电流的平面圆线圈相距不远，如果要使其互感系数近似为零，则应调整线圈的取向使

- (A) 两线圈平面都平行于两圆心连线。
(B) 两线圈平面都垂直于两圆心连线。
(C) 一个线圈平面平行于两圆心连线，另一个线圈平面垂直于两圆心连线。
(D) 两线圈中电流方向相反。

C

[]

16 真空中一根无限长直细导线上通电流 I ，则距导线垂直距离为 a 的空间某点处的磁能密度为

- (A) $\frac{1}{2} \mu_0 \left(\frac{\mu_0 I}{2\pi a} \right)^2$ (B) $\frac{1}{2\mu_0} \left(\frac{\mu_0 I}{2\pi a} \right)^2$ B
(C) $\frac{1}{2} \left(\frac{2\pi a}{\mu_0 I} \right)^2$ (D) $\frac{1}{2\mu_0} \left(\frac{\mu_0 I}{2a} \right)^2$ []

17 在感应电场中电磁感应定律可写成 $\oint_L \vec{E}_K \cdot d\vec{l} = -\frac{d\Phi}{dt}$ ，式中 \vec{E}_K 为感应电场的电场强度。此式表明：

- (A) 闭合曲线 L 上 \vec{E}_K 处处相等。
(B) 感应电场是保守力场。
(C) 感应电场的电场强度线不是闭合曲线。
(D) 在感应电场中不能像对静电场那样引入电势的概念。

D

[]

18 已知粒子在一维矩形无限深势阱中运动，其波函数为：

$$\psi(x) = \frac{1}{\sqrt{a}} \cdot \cos \frac{3\pi x}{2a}, \quad (-a \leq x \leq a)$$

那么粒子在 $x = 5a/6$ 处出现的概率密度为

- (A) $1/(2a)$. (B) $1/a$. (C) $1/\sqrt{2a}$. (D) $1/\sqrt{a}$. A

[]

19 设氢原子的动能等于氢原子处于温度为 T 的热平衡状态时的平均动能, 氢原子的质量为 m , 那么此氢原子的德布罗意波长为

- (A) $\lambda = \frac{h}{\sqrt{3mkT}}$. (B) $\lambda = \frac{h}{\sqrt{5mkT}}$.
(C) $\lambda = \frac{\sqrt{3mkT}}{h}$. (D) $\lambda = \frac{\sqrt{5mkT}}{h}$.

[]

A

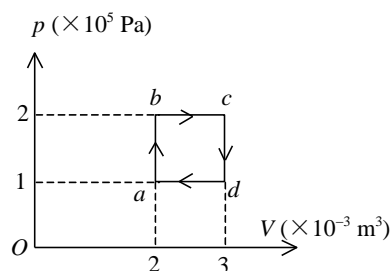
1-5 BBDDD 6-10AADCA 11-15 ADDAC 16-19BDAA

20 (10 分) 如图所示, $abcd$ 为 1 mol 单原子分子理想气体的循环过程, 求:

(1) 气体循环一次, 在吸热过程中从外界共吸收的热量;

(2) 气体循环一次对外做的净功;

(3) 证明 在 $abcd$ 四态, 气体的温度有 $T_a T_c = T_b T_d$.



解: (1) 过程 ab 与 bc 为吸热过程,

吸热总和为

$$\begin{aligned} Q_1 &= C_V(T_b - T_a) + C_p(T_c - T_b) \\ &= \frac{3}{2}(p_b V_b - p_a V_a) + \frac{5}{2}(p_c V_c - p_b V_b) \\ &= 800 \text{ J} \end{aligned}$$

4 分

(2) 循环过程对外所作总功为图中矩形面积

$$W = p_b(V_c - V_b) - p_d(V_d - V_a) = 100 \text{ J}$$

2 分

(3) $T_a = p_a V_a / R$, $T_c = p_c V_c / R$, $T_b = p_b V_b / R$, $T_d = p_d V_d / R$,

$$T_a T_c = (p_a V_a p_c V_c) / R^2 = (12 \times 10^4) / R^2$$

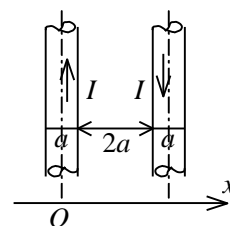
$$T_b T_d = (p_b V_b p_d V_d) / R^2 = (12 \times 10^4) / R^2$$

\therefore

$$T_a T_c = T_b T_d$$

4 分

21 (5 分) 如图所示, 有两根平行放置的长直载流导线. 它们的直径为 a , 反向流过相同大小的电流 I , 电流在导线内均匀分布. 试在图示的坐标系中求出 x 轴上两导线之间区域 $[\frac{1}{2}a, \frac{5}{2}a]$ 内磁感强度的分布.



解: 应用安培环路定理和磁场叠加原理可得磁场分布为,

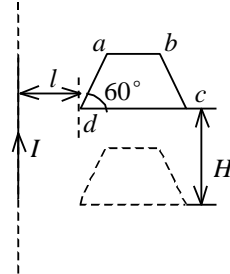
$$B = \frac{\mu_0 I}{2\pi x} + \frac{\mu_0 I}{2\pi(3a - x)} \quad \left(\frac{a}{2} \leq x \leq \frac{5}{2}a\right)$$

4 分

\vec{B} 的方向垂直 x 轴及图面向里.

1 分

22 (10 分) 如图所示, 一长直导线通有电流 I , 其旁共面地放置一匀质金属梯形线框 $abcd$, 已知: $da = ab = bc = L$, 两斜边与下底边夹角均为 60° , d 点与导线相距 l . 今线框从静止开始自由下落 H 高度, 且保持线框平面与长直导线始终共面, 求:



(1) 下落高度为 H 的瞬间, 线框中的感应电流为多少?

(2) 该瞬时线框中电势最高处与电势最低处之间的电势差为多少?

解: (1) 由于线框垂直下落, 线框所包围面积内的磁通量无变化, 故感应电流

$$I_i = 0 \quad 2 \text{ 分}$$

(2) 设 dc 边长为 l' , 则由图可见

$$l' = L + 2L \cos 60^\circ = 2L$$

取 $d \rightarrow c$ 的方向为 dc 边内感应电动势的正向, 则

$$\begin{aligned} \mathcal{E}_{dc} &= \int_d^c (\vec{v} \times \vec{B}) \cdot d\vec{l} = \int_d^c v B dl = \int_0^{l'} \sqrt{2gH} \cdot \frac{\mu_0 I}{2\pi(r+l)} dr \\ &= \frac{\mu_0 I}{2\pi} \sqrt{2gH} \ln \frac{l'+l}{l} = \frac{\mu_0 I}{2\pi} \sqrt{2gH} \ln \frac{l+2L}{l} \end{aligned} \quad 3 \text{ 分}$$

$\mathcal{E}_{dc} > 0$, 说明 cd 段内电动势的方向由 $d \rightarrow c$ 2 分

由于回路内无电流 $V_{cd} = U_c - U_d = \mathcal{E}_{dc} = \frac{\mu_0 I}{2\pi} \sqrt{2gH} \ln \frac{2L+l}{l}$ 2 分

因为 c 点电势最高, d 点电势最低, 故: V_{cd} 为电势最高处与电势最低处之间的电势差. 1 分

23. (本题 10 分) (4767)

当氢原子从某初始状态跃迁到激发能(从基态到激发态所需的能量)为 $\Delta E = 10.19 \text{ eV}$ 的状态时, 发射出光子的波长是 $\lambda = 4860 \text{ \AA}$, 试求该初始状态的能量和主量子数. (普朗克常量 $h = 6.63 \times 10^{-34} \text{ J} \cdot \text{s}$, $1 \text{ eV} = 1.60 \times 10^{-19} \text{ J}$) 4

解: 所发射的光子能量为 $\varepsilon = hc/\lambda = 2.56 \text{ eV}$ 2 分

氢原子在激发能为 10.19 eV 的能级时, 其能量为

$$E_K = E_1 + \Delta E = -3.41 \text{ eV} \quad 3 \text{ 分}$$

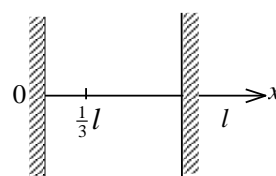
氢原子在初始状态的能量为 $E_n = \varepsilon + E_K = -0.85 \text{ eV}$ 3 分

该初始状态的主量子数为 $n = \sqrt{\frac{E_1}{E_n}} = 4$ 2 分

24. (本题 8 分) (5371)

一粒子被限制在相距为 l 的两个不可穿透的壁之间, 如图所示. 描写粒子状态的波函数为

$\psi = cx(l-x)$, 其中 c 为待定常量. 求在 $0 \sim \frac{1}{3}l$ 区间发



现该粒子的概率. 4

解: 由波函数的性质得

$$\int_0^l |\psi|^2 dx = 1$$

即
$$\int_0^l c^2 x^2 (l-x)^2 dx = 1,$$

由此解得
$$c^2 = 30/l^5, \quad c = \sqrt{30/l}/l^2$$
 3 分

设在 $0 - l/3$ 区间内发现该粒子的概率为 P , 则

$$P = \int_0^{l/3} |\psi|^2 dx = \int_0^{l/3} 30x^2 [(l-x)^2 / l^5] dx = \frac{17}{81}$$
 5 分